

長崎大工 正員 古本勝弘
 長崎大工 正員 武政剛弘
 長崎大工 学員 ○谷口英世
 長崎大工 学員 切通幸生

1) まえがき

気泡噴流は、港湾関係では消波効果をもつものとして、下水処理関係では攪拌効果および曝気効果をもつものとして多くの研究がなされた。港湾関係では、fish farming計画(内湾を何らかの方法で舗め切り塩農場類を肥料として海面に散布し、プランクトンの増殖を行ひ間接的に稚魚の育成を行ふとする計画)での気泡噴流幕に遮断効果を期待し、これを遮断幕とすると共に、酸素供給手段、あるいは肥料の攪拌手段として应用する事を考へた。また遮断効果が明確にわかれれば、ヘドロあさりは汚濁物質へ浮遊物質の防止壁等に利用する事を考へられた。そこで筆者らは、気泡噴流幕の遮断効果を検討する為に、第一段階として、静水下の気泡噴流幕を通して水の交換について行った実験結果を報告する。

2) 実験装置

実験装置の概略を図1に示す。水槽は、長さ7.5m、巾0.8m、高さ0.8mの寸法の両側面に透明アクリル板を貼った鋼製の矩形水槽である。水槽を三分でさる様に、水槽中央部にガイドに沿つて取り外し可能な仕切り板を設けた。両水槽には、水槽下15cmと20cmに上下層を分離するための板を図1のよう設けられる。これは、気泡噴流効率にのみ循環流が起り、混合水流がどこに停滞するかを防ぐために設置された。この分離板のために、流れの図中の矢印の方向に循環する。散気装置は、図2に示す様にアクリルの角棒に溝を掘り、その上部に市販のエアーストーンを接着したもので、水路の中央部に必要に応じて複数個並べて用いた。送風は、出力400W定格風量0.35m³/minのブロアーを用い、風量調節のバルブ、風量測定の為のオリフィス、エアーダンクを経て、各エアーストーンに空気を供給した。気泡浴は、風量、圧力によらず異なり、正確には測らぬでは11m³/kg、瞬間0.1~0.3cmであった。気泡噴流幕を通して水の交換を用るトレーサーとして、NaCl を用いたが、その濃度は電気伝導度計で検出した。

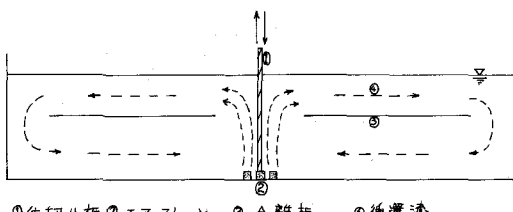


図1 実験装置

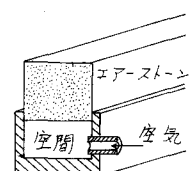


図2 散気装置

3) 実験方法

上記の仕切り板により、完全に二つの槽に分離した後、一方の水槽に飽和したNaCl 溶液を注加し、この仕切り板の下に設置したエアーストーンより気泡を噴流させ、これによる循環流を利用して攪拌を行い、淡水槽塩水槽の濃度を均一とした。この時注加するNaCl量は、両槽の間で密度差が起らる程度、すなはち、電気伝導度の差で500 ppm、密度差に直して0.00025g/cm³とした。この濃度差を持つ両槽の濃度を初期濃度と

した。この濃度差の元で、20秒～30秒送風散気を行なうながら中央の仕切り板を撤去の後、再び仕切り板を落し両槽の交換を断つ。この仕切り板の開放時間は、気泡噴流により混合した水が前述して13様に循環して、再び噴流幕の面に達する迄の時間、すなはち気泡幕に左右から供給された水が、初期濃度に保たれて13時間とした。仕切り板を開いた後も散気を継続し、循環流を利用して両槽を完全に一様とする。この両槽の最終NaCl濃度を測定し、気泡幕を通してNaClの交換量を算出した。

4) 実験結果およびその考察

気泡噴流部の流れの19-21は次の様である。散気装置上U(m/sec)部の気泡とともに上昇する水流は、左右から濃度の異なる水を吸引し混合しながら水面直線上に左側に左側に右側へ循環流となる。気泡幕内に上昇流の主体をなす水は、エアースト直線で左側から気泡幕内に順流的に吸引される水であり、エアースト直线上に左側から吸引される水は、気泡幕の中央部まで達し至るに左側に右側へ入る可能性は少い。気泡幕内におけるNaCl濃度の分布を理想的に推測してみると、エアースト直線上では淡水側(C_s)と塩水側(C_f)の濃度がその中央で不連続的に接した分布をなし、その位置の上昇と共に互に混合が進むために左側に右側へ循環流となる。式(2)式(3)は近似式である。

$$\frac{C}{C_s - C_f} = \frac{1}{2} \operatorname{erfc} \left(\frac{x}{2\sqrt{D_h} \cdot z/U} \right)$$

ここで、Z: エアースト直線上に測った距離、U: 噴流幕内の水の平均上昇速度、X: 気泡幕中央から淡水側へ測った水平距離、D_h: 气泡幕内の水平方向拡散係数である。ただし(1)式は、D_h、Uを一定としており、また、気泡幕の外側はC_s、C_f濃度に保たれていて、濃度は一致しない。場合の淡水側への輸送は水平方向に流れ拡散により起り、その量は、気泡幕中央面を構成する部分量で決定される。気泡幕内での互いの拡散は、気泡径、気泡密度、噴流幕等に支配され、13通り手が取られる。気泡徑を自由に制御できるので、実験は、気泡噴流の風量によってデータが採集される。先ずエアーストの本数をパラメータに風量(Q)と式(2)で示す場合の交換速度(U)の関係を図.3に示す。

$$U = \frac{C_s - C_f}{C_s - C_f} \cdot \frac{V}{A \cdot T}$$

ここで、C_s: 淡水側の最終NaCl濃度、V: 塩水側容積、A: 噴流面積、T: 仕切り板開放時間。これによると同風量に対して、エアースト本数、即ち噴流中の増加する熱温度が減少する。これは気泡面での分子移動量を $j = -D_h (\partial C / \partial x)$ で表わした時、風量の下では、噴流中の増加による($\partial C / \partial x$)の減少が j の減少に効果的である事を示している。 j が負であるより近似的に $\partial C / \partial x = (C_s - C_f) / B$ (B: 噴流面)とおき D_hを計算して図.4に示す。噴流面での分子移動係数 D_hは一般に B=10cm で $D_h = 3.7 \times 10^{-5} \text{ m}^2/\text{sec}$ であるが、この実験結果を Q=4, 3 sec について D_hと Bとの関係を示すと図5となり、ほぼ実証される。

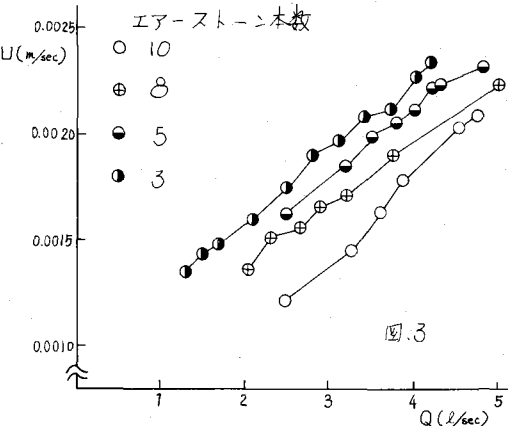


図.3

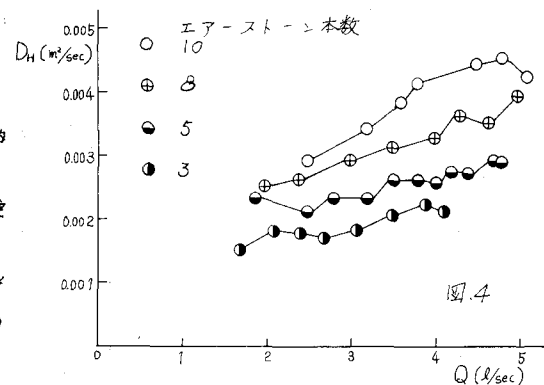


図.4

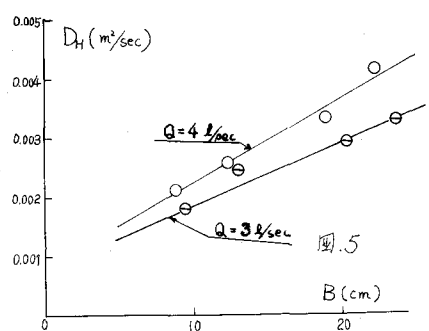


図.5